



Laboratorium EMVO Sp. J. Urbański, Pawelak
ul. Jasna 1
00-013 Warszawa

tel. +48 22 780 29 64
e-mail: laboratorium@emvo.pl



AB 1630

Sprawozdanie z pomiarów pól elektromagnetycznych - środowisko nr 37/01/OŚ/2023-P4-W



| | | |
|--------------------------|--|---------------------------------|
| Nr i nazwa stacji | LUB1083A | |
| Adres | Lublin, Chodźki 10, pow. Lublin, woj. lubelskie | |
| Opracowanie | | Specjalista ds. pomiarów |
| Autoryzacja | | Kierownik Laboratorium |
| Podpis | Podpis jest prawidłowy Dokument podpisany przez ██████████ Data: 2023.01.19 08:29:31 CEST Powód: Zatwierdzam dokument | |
| Data | 2023-01-18 | |

Spis treści

| | |
|---|---|
| 1. Informacje ogólne..... | 3 |
| 2. Podstawa prawna..... | 3 |
| 3. Opis pomiarów..... | 4 |
| 4. Zróżnicowanie dopuszczalne poziomy pól elektromagnetycznych..... | 5 |
| 5. Charakterystyka źródeł PEM..... | 5 |
| 6. Wyniki pomiarów..... | 5 |
| 7. Stwierdzenie zgodności..... | 6 |
| 8. Oświadczenie..... | 8 |
| 9. Spis załączników..... | 8 |

1. Informacje ogólne.

| | |
|---|--|
| Zleceniodawca | P4 sp. z o.o., ul. Wynałazek 1, 02-677 Warszawa osoba udzielająca informacji- |
| Istotne informacje dostarczone przez klienta | komplet informacji niezbędnych do wykonania pomiarów i opracowania sprawozdania |
| Dane otrzymane od klienta mogące mieć wpływ na ważność wyników | Dane anten sektorowych, dane anten radioliniowych, parametry pracy instalacji, ustawienie pochylenia anten |
| Prowadzący instalację | P4 sp. z o.o., ul. Wynałazek 1, 02-677 Warszawa |
| Lokalizacja obiektu | Lublin, Chodźki 10, pow. Lublin, woj. lubelskie |
| Miejsce instalacji anten | Dach budynku |
| Miejsce instalacji urządzeń | Outdoor |
| Osoby wykonujące pomiar | |
| Data wykonania pomiaru | 18.01.2023 |
| Temperatura na początku pomiaru [°C] | 6,0 |
| Temperatura na koniec pomiaru [°C] | 6,0 |
| Warunki atmosferyczne | Brak opadów |
| Wilgotność na początku pomiaru [%] | 74,9 |
| Wilgotność na koniec pomiaru [%] | 74,9 |
| Godzina na początku pomiaru | 12:32 |
| Godzina na koniec pomiaru | 14:00 |
| Inne źródła pól elektromagnetycznych oznaczone na załączniku graficznym | Występują |
| Parametry pracy instalacji | Tryb eksploatacyjny |

2. Podstawa prawna.

2.1 Normy i rozporządzenia:

- Rozporządzeniem Ministra Klimatu z dnia 17 lutego 2020 r. w sprawie sposobów sprawdzania dotrzymania dopuszczalnych poziomów pól elektromagnetycznych w środowisku (Dz.U. 2020 poz. 258)
- Rozporządzenie Ministra Zdrowia z dnia 17 grudnia 2019 r. w sprawie dopuszczalnych poziomów pól elektromagnetycznych w środowisku (Dz.U. 2019 poz. 2448)
- Obwieszczenie Marszałka Sejmu Rzeczypospolitej Polskiej z dnia 29 września 2021 r. w sprawie ogłoszenia jednolitego tekstu ustawy - Prawo ochrony środowiska (Dz.U. 2021 poz. 1973)
- Rozporządzenie Ministra Klimatu i Środowiska z dnia 6 maja 2022 r. zmieniające rozporządzenie w sprawie sposobów sprawdzania dotrzymywania dopuszczalnych poziomów pól elektromagnetycznych w środowisku (Dz.U. 2022 poz. 1121).

„Bez pisemnej zgody Laboratorium niniejsze sprawozdanie nie może być powielane inaczej, jak tylko w całości. Ponadto wyniki dotyczą tylko badanych obiektów przywołanych w niniejszym sprawozdaniu z badań”

3. Opis pomiarów

| | |
|--------------------------|--|
| Metodologia pomiarowa | Pomiary w oparciu o Rozporządzeniem Ministra Klimatu z dnia 17 lutego 2020 r. w sprawie sposobów sprawdzania dotrzymania dopuszczalnych poziomów pól elektromagnetycznych w środowisku (Dz.U. 2020 poz. 258) oraz Rozporządzenie Ministra Klimatu i Środowiska z dnia 6 maja 2022 r. zmieniające rozporządzenie w sprawie sposobów sprawdzania dotrzymywania dopuszczalnych poziomów pól elektromagnetycznych w środowisku (Dz.U. 2022 poz. 1121). |
| Cel badań | Określenie wartości natężenia pola elektrycznego w miejscach dostępnych dla ludności. |
| Opis zestawu pomiarowego | Miernik Narda NBM 550, Sonda EF9091, o zakresie pomiarowym 0,7 V/m - 300V/m pracująca w paśmie 0,1 – 90 GHz, świadectwo wydane przez Laboratorium Wzorców i Metrologii Pola Elektromagnetycznego, Instytut Telekomunikacji, Teleinformatyki i Akustyki Politechniki Wrocławskiej. Świadectwo ważne do 10.06.2024r. Miernik Narda NBM 550, Sonda EF9091 pracująca w zakresie temperatury -10°C +50°C oraz wilgotności 5% - 95%. Niepewność rozszerzona 38,6% przy poziomie ufności 95% z uwzględnieniem współczynnika rozszerzenia k=2. |
| Wyposażenie pomocnicze | Termohigrometr Termoprodukt, typ: Termik+, Nr. inwentarzowy 43/WL, nr identyfikacyjny 1530619, świadectwo wzorcowania nr 0392/AH/20 z dn. 02.03.2020 r. wydane przez Laboratorium Pomiarowe "MUTECH". Dalmierz laserowy BOSH GLM 40, Nr. inwentarzowy 27/WL, nr seryjny 711425432, Świadectwo wzorcowania L4-L41.4180.141.2018.3061.1 z dnia 12 września 2018 wydane przez Pracownia Długości Samodzielnego Laboratorium Długości w Głównym Urzędzie Miar. GPS Garmin 64s okresowo sprawdzany w punktach osnowy geodezyjnej klasy 3 na podstawie licencji punktu, zgodnie z procedurą sprawdzeń okresowych IS/PO16-11/03. |
| Pomiary zostały wykonane | <ol style="list-style-type: none">1. na głównych i pomocniczych kierunkach pomiarowych, na kierunkach zbliżonych do azymutów anten oraz w dodatkowych pionach pomiarowych zgodnie z wymaganiami pkt 12, 13, 14 i 19 Rozporządzenia Ministra Klimatu z dnia 17 lutego 2020 r. (Dz. U. 2020, poz. 258) oraz Rozporządzenia Ministra Klimatu i Środowiska z dnia 6 maja 2022 r. zmieniającego rozporządzenie w sprawie sposobów sprawdzania dotrzymywania dopuszczalnych poziomów pól elektromagnetycznych w środowisku (Dz.U. 2022 poz. 1121).2. na obszarze pomiarowym, dla którego, na podstawie uprzednio przeprowadzonych obliczeń stwierdzono w miejscach dostępnych dla ludności występowanie pól elektromagnetycznych o najwyższym poziomie, które pochodzą z badanej instalacji zgodnie z wymaganiami pkt 5 ppkt 2 oraz pkt 13 ppkt 1 Rozporządzenia Ministra Klimatu z dnia 17 lutego 2020 r. w sprawie sposobów sprawdzania dotrzymania dopuszczalnych poziomów pól elektromagnetycznych w środowisku (Dz. U. 2020, poz. 258) oraz Rozporządzenia Ministra Klimatu i Środowiska z dnia 6 maja 2022 r. zmieniającego rozporządzenie w sprawie sposobów sprawdzania dotrzymywania dopuszczalnych poziomów pól elektromagnetycznych w środowisku (Dz.U. 2022 poz. 1121). Wyniki obliczeń nie uwzględniały parametrów pracy instalacji innych operatorów występujących na obiekcie bądź w obszarze pomiarowym.3. w miejscach dostępnych dla ludności.4. miejsca niedostępne podczas wykonywania pomiarów wskazane zostały w pkt 6 (tabeli wyniki pomiarów). |

„Bez pisemnej zgody Laboratorium niniejsze sprawozdanie nie może być powielane inaczej, jak tylko w całości. Ponadto wyniki dotyczą tylko badanych obiektów przywołanych w niniejszym sprawozdaniu z badań”

Szczegółne warunki podczas wykonywania pomiarów

Pomiary wykonane zostały podczas obowiązywania w kraju stanu zagrożenia epidemicznego, zgodnie z art. 122a ust. 1b Ustawy z dnia 27 kwietnia 2001 r. – Prawo ochrony środowiska (Dz. U. z 2019 r. poz. 1396, z późn. zm.9)).

Warunki pracy urządzeń nadawczych

Tryb pracy eksploatacyjny.

4. Zróżnicowanie dopuszczalne poziomy pól elektromagnetycznych.

Zakresy znajdują się w Dzienniku Ustaw z dnia 17 grudnia 2019 r. przedstawione są w tabeli nr 2 (Dz. U. z 2019r. poz. 2448).

| Parametr fizyczny | Składowa elektryczna E (V/m) | Składowa magnetyczna H (A/m) | Gęstość mocy S (W/m ²) |
|---|------------------------------|------------------------------|------------------------------------|
| Zakres Częstotliwości pola elektromagnetycznego | | | |
| od 400 MHz do 2000 MHz | $1,375 \times f^{0,5}$ | $0,0037 \times f^{0,5}$ | f / 200 |
| od 2 GHz do 300 GHz | 61 | 0,16 | 10 |

5. Charakterystyka źródeł PEM.

Zgodnie z informacją otrzymaną od Klienta pomiary zostały wykonane przy ustawieniach pochylenia anten zgodnych z pkt. 13, ppkt 2 Rozporządzenia Ministra Klimatu z dnia 17 lutego 2020 roku.

Tabela 1. Anteny sektorowe – dane otrzymane od klienta

| | | | | | | | | | | | |
|---------------------------------|---|---------------------|--------|------------------|----------|----------|------------------|--------|------------------|----------|----------|
| Charakterystyka promieniowania | | kierunkowa | | | | | | | | | |
| Rzeczywisty czas pracy [h/dobę] | | 24 | | | | | | | | | |
| Rodzaj wytwarzanego pola | | stacjonarne | | | | | | | | | |
| L | Wyszczególnienie | sektor 1 | | | | | sektor 2 | | | | |
| p | | | | | | | | | | | |
| I Nadajnik stacji bazowej: | | | | | | | | | | | |
| 1 | Typ / Producent | RBS / SRAN Ericsson | | | | | | | | | |
| 2 | Częstotliwość (pasmo) MHz | 2100 | 1800 | 2600 | 900 | 800 | 2100 | 1800 | 2600 | 900 | 800 |
| 3 | Maksymalna moc nadawana na sektor [dBm] | 53,01 | 53,01 | 52,04 | 47,78 | 49,03 | 53,01 | 53,01 | 52,04 | 47,78 | 49,03 |
| II Obciążenie: | | | | | | | | | | | |
| 1 | Typ anteny | Huawei ATR451606 | | Huawei ATR4518R6 | | | Huawei ATR451606 | | Huawei ATR4518R6 | | |
| 2 | Producent anteny | Huawei | | Huawei | | | Huawei | | Huawei | | |
| 3 | Nazwa anteny | 11_HLN | 11_HLN | 12_GHT V | 12_GHT V | 12_GHT V | 21_HLN | 21_HLN | 22_GHT V | 22_GHT V | 22_GHT V |
| 4 | Ilość anten | 1 | | 1 | | | 1 | | 1 | | |
| 5 | Azymut | 0 | | | | | 130 | | | | |
| 6 | Zakres kątów pochylenia anten [°] | 0,00-10,00 | | | | | 0,00-10,00 | | | | |
| 7 | Wysokość zainst. n.p.t. [m] | 38,30 | | | | | 36,50 | | | | |
| 8 | EIRP [W] | 17554 | | 13337 | | | 14870 | | 11455 | | |

| | | | | | | | | | | | |
|---------------------------------|---|---------------------|--------|--------|------------------|--------|------------------|--------|--------|------------------|--------|
| Charakterystyka promieniowania | | kierunkowa | | | | | | | | | |
| Rzeczywisty czas pracy [h/dobę] | | 24 | | | | | | | | | |
| Rodzaj wytwarzanego pola | | stacjonarne | | | | | | | | | |
| Lp | Wyszczególnienie | sektor 3 | | | | | sektor 4 | | | | |
| I | Nadajnik stacji bazowej: | | | | | | | | | | |
| 1 | Typ / Producent | RBS / SRAN Ericsson | | | | | | | | | |
| 2 | Częstotliwość (pasmo) MHz | 2600 | 2100 | 1800 | 900 | 800 | 2500 | 2100 | 1800 | 900 | 800 |
| 3 | Maksymalna moc nadawana na sektor [dBm] | 49,03 | 50 | 50 | 47,78 | 49,03 | 49,03 | 50 | 50 | 47,78 | 49,03 |
| II | Obciążenie: | | | | | | | | | | |
| 1 | Typ anteny | Huawei AMB4520R0 | | | Huawei AMB4519R0 | | Huawei AMB4520R0 | | | Huawei AMB4519R0 | |
| 2 | Producent anteny | Huawei | | | Huawei | | Huawei | | | Huawei | |
| 3 | Nazwa anteny | 31_HLN | 31_HLN | 31_HLN | 32_GTV | 32_GTV | 31_HLN | 31_HLN | 31_HLN | 32_GTV | 32_GTV |
| 4 | Ilość anten | 1 | | | 1 | | 1 | | | 1 | |
| 5 | Azymut | 213 | | | | | 273 | | | | |
| 6 | Zakres kątów pochylenia anten [°] | 0,00-10,00 | | | | | 0,00-10,00 | | | | |
| 7 | Wysokość zainst. n.p.t. [m] | 38,20 | | | 38,50 | | 38,20 | | | 38,50 | |
| 8 | EIRP [W] | 15459 | | | 6839 | | 15459 | | | 6839 | |

Tabela 2. Anteny radioliniowe– dane otrzymane od klienta
Brak anten

6. Wyniki pomiarów.

Wyniki pomiarów pól elektromagnetycznych dla celów ochrony środowiska przedstawia poniższa tabela. Piony pomiarowe zostały przedstawione w zał. 2.

| Nr PP | Pole-E [V/m] | Pole-E, +U [V/m] | Pole-H [A/m] | Pole-H +U [A/m] | Wys. pomiaru [m] | Opis pionu | Uwagi | WM _E | WM _H |
|-------|--------------|------------------|--------------|-----------------|------------------|--------------------------------|--|-----------------|-----------------|
| 1 | 0,8 | 1,11 | 0,002 | 0,003 | 0,3-2,0 | N:51°15'55.4" E:22°33'37.6" | otoczenie stacji bazowej - 50m wzdłuż gł. osi promieniowania - GKP | 0,040 | 0,040 |
| 2 | 0,7* | 1,11 | 0,002 | 0,003 | 0,3-2,0 | N:51°16'00.2" E:22°33'37.8" | otoczenie stacji bazowej - 200m wzdłuż gł. osi promieniowania - GKP | 0,040 | 0,040 |
| 3 | 0,7* | 1,11 | 0,002 | 0,003 | 0,3-2,0 | N:51°16'01.9" E:22°33'37.9" | otoczenie stacji bazowej - 250m wzdłuż gł. osi promieniowania - GKP | 0,040 | 0,040 |
| 4 | 0,7* | 1,11 | 0,002 | 0,003 | 0,3-2,0 | N:51°16'03.5" E:22°33'38.2" | otoczenie stacji bazowej - 300m wzdłuż gł. osi promieniowania - GKP | 0,040 | 0,040 |
| 5 | 0,7* | 1,11 | 0,002 | 0,003 | 0,3-2,0 | N:51°16'05.0" E:22°33'38.3" | otoczenie stacji bazowej - 350m wzdłuż gł. osi promieniowania - GKP | 0,040 | 0,040 |
| 6 | 1,0 | 1,39 | 0,003 | 0,004 | 0,3-2,0 | N:51°15'50.8" E:22°33'40.1" | otoczenie stacji bazowej - 50m wzdłuż gł. osi promieniowania - GKP | 0,050 | 0,050 |
| 7 | 1,1 | 1,52 | 0,003 | 0,004 | 0,3-2,0 | N:51°15'49.7" E:22°33'42.3" | otoczenie stacji bazowej - 100m wzdłuż gł. osi promieniowania - GKP | 0,054 | 0,055 |
| 8 | 0,9 | 1,25 | 0,002 | 0,003 | 0,3-2,0 | N:51°15'48.3" E:22°33'44.1" | otoczenie stacji bazowej - 150m wzdłuż gł. osi promieniowania - GKP | 0,045 | 0,045 |
| 9 | 0,8 | 1,11 | 0,002 | 0,003 | 0,3-2,0 | N:51°15'47.3" E:22°33'46.4" | otoczenie stacji bazowej - 200m wzdłuż gł. osi promieniowania - GKP | 0,040 | 0,040 |
| 10 | 0,9 | 1,25 | 0,002 | 0,003 | 0,3-2,0 | N:51°15'46.5" E:22°33'47.9" | otoczenie stacji bazowej - 250m wzdłuż gł. osi promieniowania - GKP | 0,045 | 0,045 |
| 11 | 0,7* | 1,11 | 0,002 | 0,003 | 0,3-2,0 | N:51°15'44.2" E:22°33'51.9" | otoczenie stacji bazowej - 365m wzdłuż gł. osi promieniowania - GKP | 0,040 | 0,040 |
| 12 | 0,8 | 1,11 | 0,002 | 0,003 | 0,3-2,0 | N:51°15'50.7" E:22°33'35.6" | otoczenie stacji bazowej - 50m wzdłuż gł. osi promieniowania - GKP | 0,040 | 0,040 |
| 13 | 1,0 | 1,39 | 0,003 | 0,004 | 0,3-2,0 | N:51°15'49.4" E:22°33'33.6" | otoczenie stacji bazowej - 100m wzdłuż gł. osi promieniowania - GKP | 0,050 | 0,050 |

„Bez pisemnej zgody Laboratorium niniejsze sprawozdanie nie może być powielane inaczej, jak tylko w całości. Ponadto wyniki dotyczą tylko badanych obiektów przywołanych w niniejszym sprawozdaniu z badań”

| | | | | | | | | | |
|----|------|------|-------|-------|---------|--------------------------------|--|-------|-------|
| 14 | 1,0 | 1,39 | 0,003 | 0,004 | 0,3-2,0 | N:51°15'48.1" E:22°33'32.5" | otoczenie stacji bazowej - 150m wzdłuż gł. osi promieniowania - GKP | 0,050 | 0,050 |
| 15 | 1,0 | 1,39 | 0,003 | 0,004 | 0,3-2,0 | N:51°15'46.7" E:22°33'30.9" | otoczenie stacji bazowej - 200m wzdłuż gł. osi promieniowania - GKP | 0,050 | 0,050 |
| 16 | 0,9 | 1,25 | 0,002 | 0,003 | 0,3-2,0 | N:51°15'45.2" E:22°33'28.9" | otoczenie stacji bazowej - 250m wzdłuż gł. osi promieniowania - GKP | 0,045 | 0,045 |
| 17 | 0,8 | 1,11 | 0,002 | 0,003 | 0,3-2,0 | N:51°15'43.9" E:22°33'27.7" | otoczenie stacji bazowej - 300m wzdłuż gł. osi promieniowania - GKP | 0,040 | 0,040 |
| 18 | 0,8 | 1,11 | 0,002 | 0,003 | 0,3-2,0 | N:51°15'43.0" E:22°33'26.6" | otoczenie stacji bazowej - 350m wzdłuż gł. osi promieniowania - GKP | 0,040 | 0,040 |
| 19 | 0,8 | 1,11 | 0,002 | 0,003 | 0,3-2,0 | N:51°15'42.5" E:22°33'26.2" | otoczenie stacji bazowej - 385m wzdłuż gł. osi promieniowania - GKP | 0,040 | 0,040 |
| 20 | 0,8 | 1,11 | 0,002 | 0,003 | 0,3-2,0 | N:51°15'52.0" E:22°33'34.6" | otoczenie stacji bazowej - 100m wzdłuż gł. osi promieniowania - GKP | 0,040 | 0,040 |
| 21 | 0,8 | 1,11 | 0,002 | 0,003 | 0,3-2,0 | N:51°15'52.1" E:22°33'31.8" | otoczenie stacji bazowej - 150m wzdłuż gł. osi promieniowania - GKP | 0,040 | 0,040 |
| 22 | 1,0 | 1,39 | 0,003 | 0,004 | 0,3-2,0 | N:51°15'52.2" E:22°33'29.4" | otoczenie stacji bazowej - 200m wzdłuż gł. osi promieniowania - GKP | 0,050 | 0,050 |
| 23 | 1,1 | 1,52 | 0,003 | 0,004 | 0,3-2,0 | N:51°15'52.5" E:22°33'24.0" | otoczenie stacji bazowej - 250m wzdłuż gł. osi promieniowania - GKP | 0,054 | 0,055 |
| 24 | 1,0 | 1,39 | 0,003 | 0,004 | 0,3-2,0 | N:51°15'52.5" E:22°33'21.5" | otoczenie stacji bazowej - 300m wzdłuż gł. osi promieniowania - GKP | 0,050 | 0,050 |
| 25 | 0,9 | 1,25 | 0,002 | 0,003 | 0,3-2,0 | N:51°15'52.7" E:22°33'19.8" | otoczenie stacji bazowej - 350m wzdłuż gł. osi promieniowania - GKP | 0,045 | 0,045 |
| 26 | 0,7* | 1,11 | 0,002 | 0,003 | 0,3-2,0 | N:51°15'55.8" E:22°33'39.8" | otoczenie stacji bazowej - GKP | 0,040 | 0,040 |
| 27 | 0,8 | 1,11 | 0,002 | 0,003 | 0,3-2,0 | N:51°15'52.9" E:22°33'39.4" | otoczenie stacji bazowej - GKP | 0,040 | 0,040 |
| 28 | 0,8 | 1,11 | 0,002 | 0,003 | 0,3-2,0 | N:51°15'51.6" E:22°33'41.6" | otoczenie stacji bazowej - GKP | 0,040 | 0,040 |
| 29 | 0,8 | 1,11 | 0,002 | 0,003 | 0,3-2,0 | N:51°15'48.5" E:22°33'39.7" | otoczenie stacji bazowej - GKP | 0,040 | 0,040 |
| 30 | 0,8 | 1,11 | 0,002 | 0,003 | 0,3-2,0 | N:51°15'49.5" E:22°33'23.6" | otoczenie stacji bazowej - GKP | 0,040 | 0,040 |
| 31 | 0,9 | 1,25 | 0,002 | 0,003 | 0,3-2,0 | N:51°15'50.5" E:22°33'32.3" | otoczenie stacji bazowej - GKP | 0,045 | 0,045 |
| 32 | 0,8 | 1,11 | 0,002 | 0,003 | 0,3-2,0 | N:51°15'54.3" E:22°33'28.2" | otoczenie stacji bazowej - GKP | 0,040 | 0,040 |
| 33 | 0,8 | 1,11 | 0,002 | 0,003 | 0,3-2,0 | N:51°15'55.3" E:22°33'33.7" | otoczenie stacji bazowej - GKP | 0,040 | 0,040 |
| A | 0,8 | 1,11 | 0,002 | 0,003 | 0,3-2,0 | N:51°15'52.7" E:22°33'37.9" | Witolda Chodźki 10, pomiar przed budynkiem -DPP | 0,040 | 0,040 |
| B | 0,9 | 1,25 | 0,002 | 0,003 | 0,3-2,0 | N:51°15'51.1" E:22°33'34.9" | Witolda Chodźki 10a, pomiar przed budynkiem -DPP | 0,045 | 0,045 |
| C | 0,9 | 1,25 | 0,002 | 0,003 | 0,3-2,0 | N:51°15'41.8" E:22°33'25.1" | Milenijna 5, pomiar przed budynkiem -DPP | 0,045 | 0,045 |
| D | 1,1 | 1,52 | 0,003 | 0,004 | 0,3-2,0 | N:51°15'53.8" E:22°33'24.7" | Młodej Polski 26, pomiar przed budynkiem -DPP | 0,054 | 0,055 |
| E | 0,9 | 1,25 | 0,002 | 0,003 | 0,3-2,0 | N:51°15'52.9" E:22°33'17.4" | Młodej Polski 20, pomiar przed budynkiem -DPP | 0,045 | 0,045 |
| F | 0,8 | 1,11 | 0,002 | 0,003 | 0,3-2,0 | N:51°15'55.6" E:22°33'36.0" | Witolda Chodźki 14, pomiar przed budynkiem -DPP | 0,040 | 0,040 |
| G | 0,9 | 1,25 | 0,002 | 0,003 | 0,3-2,0 | N:51°15'52.5" E:22°33'42.2" | Witolda Chodźki 12, pomiar przed budynkiem -DPP | 0,045 | 0,045 |
| H | 0,7* | 1,11 | 0,002 | 0,003 | 0,3-2,0 | N:51°16'04.4" E:22°33'38.0" | Witolda Chodźki 37, pomiar przed budynkiem -DPP | 0,040 | 0,040 |
| I | 0,7* | 1,11 | 0,002 | 0,003 | 0,3-2,0 | N:51°16'05.3" E:22°33'37.0" | Witolda Chodźki 39, pomiar przed budynkiem -DPP | 0,040 | 0,040 |
| J | 0,8 | 1,11 | 0,002 | 0,003 | 0,3-2,0 | N:51°15'46.8" E:22°33'48.2" | Witolda Chodźki 19, pomiar przed budynkiem -DPP | 0,040 | 0,040 |
| K | 0,8 | 1,11 | 0,002 | 0,003 | 0,3-2,0 | N:51°15'45.3" E:22°33'49.7" | Witolda Chodźki 17, pomiar przed budynkiem -DPP | 0,040 | 0,040 |
| L | 0,9 | 1,25 | 0,002 | 0,003 | 0,3-2,0 | N:51°15'44.1" E:22°33'51.3" | Witolda Chodźki 13, pomiar przed budynkiem -DPP | 0,045 | 0,045 |
| M | 0,8 | 1,11 | 0,002 | 0,003 | 0,3-2,0 | N:51°15'43.5" E:22°33'52.1" | Witolda Chodźki 11, pomiar przed budynkiem -DPP | 0,040 | 0,040 |

„Bez pisemnej zgody Laboratorium niniejsze sprawozdanie nie może być powielane inaczej, jak tylko w całości. Ponadto wyniki dotyczą tylko badanych obiektów przywołanych w niniejszym sprawozdaniu z badań”

Wynik pomiaru pole - E [V/m] - maksymalna wartość chwilowa zmierzona w danym pionie pomiarowym (uśredniona na podstawie punktu 11 załącznika do Rozporządzenia Ministra Klimatu z dnia 17 lutego 2020 r. w sprawie sposobów sprawdzania dotrzymania dopuszczalnych poziomów pól elektromagnetycznych w środowisku (Dz.U. 2020 poz. 258, Dz.U. 2022 poz. 1121)). Zgodnie z pkt. 7 załącznika do Rozporządzenia Ministra Klimatu z dnia 17 lutego 2020 r. w sprawie sposobów sprawdzania dotrzymania dopuszczalnych poziomów pól elektromagnetycznych w środowisku (Dz.U. 2020 poz. 258, Dz.U. 2022 poz. 1121) nie stosuje się poprawek pomiarowych.

Przyjęto najniższą dopuszczalną wartość składowej elektrycznej pola dla objętego pomiarami zakresu częstotliwości $\min(ME_{gr})= 28 \text{ V/m}$ oraz składowej magnetycznej $\min(MH_{gr})= 0,073 \text{ A/m}$.

* - wartość zmierzona poniżej zakresu akredytacji. Do obliczeń przyjęto wartość zgodną z dolną granicą akredytowanego zakresu pomiarowego metody.

GKP - główne kierunki pomiarowe

PKP - pomocnicze kierunki pomiarowe

DPP - dodatkowe punkty pomiarowe

PP - pion pomiarowy

U - niepewność pomiarowa rozszerzona, przy poziomie ufności 95%, z uwzględnieniem współczynnika rozszerzenia $k=2$

WM_E - wartość wskaźnikowa poziomu emisji pól elektromagnetycznych dla miejsc dostępnych dla ludności dla składowej elektrycznej pola

WM_H - wartość wskaźnikowa poziomu emisji pól elektromagnetycznych dla miejsc dostępnych dla ludności dla składowej magnetycznej pola

7. Stwierdzenie zgodności

Na podstawie wytycznych podanych w Rozporządzeniu Ministra Zdrowia z dnia 17 grudnia 2019 r. w sprawie dopuszczalnych poziomów pól elektromagnetycznych w środowisku (Dz.U. 2019 poz. 2448) oraz sposobów sprawdzania dotrzymania tych poziomów zgodnie z Rozporządzeniem Ministra Klimatu z dnia 17 lutego 2020 r. w sprawie sposobów sprawdzania dotrzymania dopuszczalnych poziomów pól elektromagnetycznych w środowisku (Dz.U. 2020 poz. 258) oraz Rozporządzeniem Ministra Klimatu i Środowiska z dnia 6 maja 2022 r. zmieniającego rozporządzenie w sprawie sposobów sprawdzania dotrzymywania dopuszczalnych poziomów pól elektromagnetycznych w środowisku (Dz.U. 2022 poz. 1121), dotyczących źródła wymagań, które muszą być spełnione, w oparciu o zasadę podejmowania decyzji zgodną z pkt. 26 Rozporządzenia Ministra Klimatu z dnia 17 lutego 2020 r. (Dz.U. 2020 poz. 258), na podstawie wyników pomiarów pól elektromagnetycznych wykonanych w dniu 18.01.2023 stwierdzono, że wszystkie wyniki przeprowadzonych pomiarów w danym obszarze pomiarowym oraz wyznaczone na tej podstawie wskaźniki WME oraz WMH są mniejsze od wartości dopuszczalnych – zgodnie z przepisami wydanymi na podstawie art. 122 ust. 1 ustawy z dnia 27 kwietnia 2001 r. – Prawo ochrony środowiska – załącznikiem do Rozporządzenia Ministra Klimatu i Środowiska z dnia 17 lutego 2020 r. w sprawie sposobów sprawdzania dotrzymywania dopuszczalnych poziomów pól elektromagnetycznych w środowisku (Dz.U. 2020 poz. 258, pkt 26).

8. Oświadczenie.

Wyniki badania odnoszą się wyłącznie do badanego obiektu.

Bez pisemnej zgody sprawozdanie nie może być powielane inaczej, jak tylko w całości.

Uwagi i zastrzeżenia przyjmowane są w formie pisemnej.

9. Spis załączników.

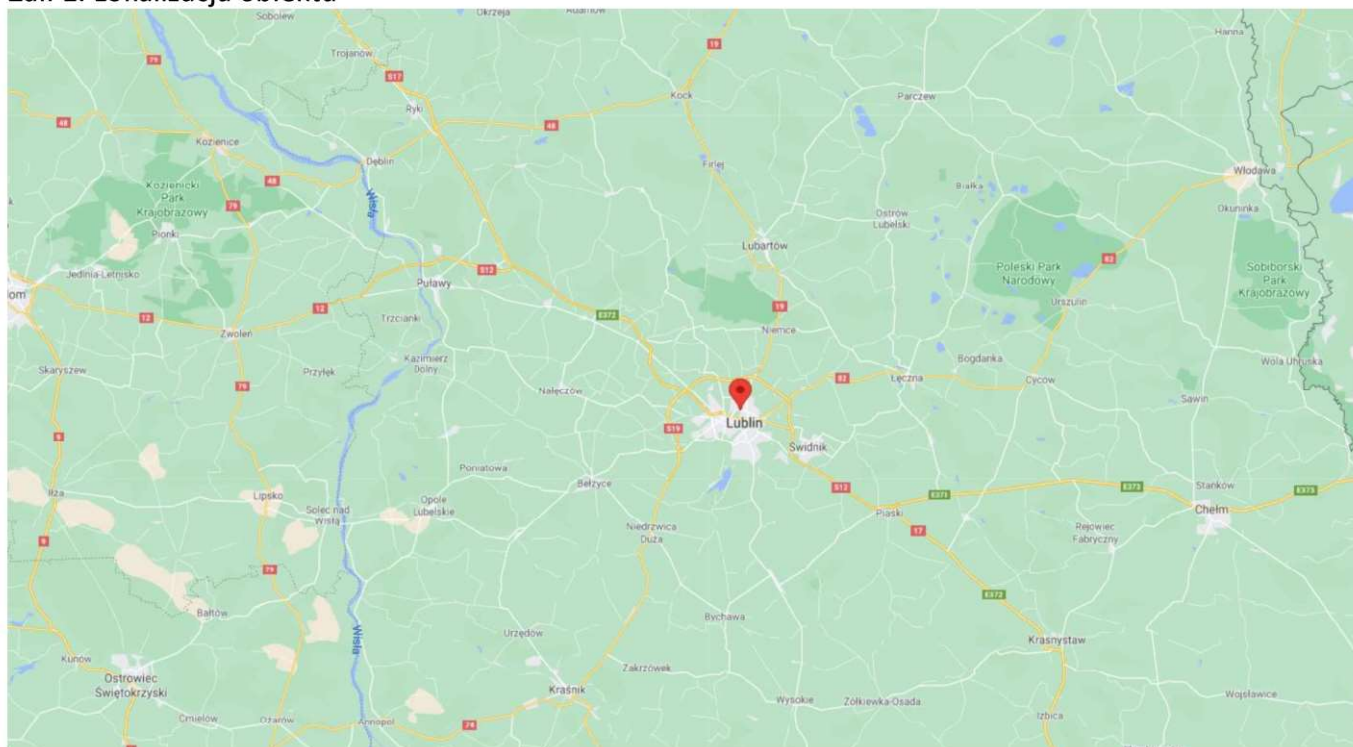
Zał. 1. Lokalizacja obiektu.

Zał. 2. Widok pionów pomiarowych

Zał. 3. Załączniki graficzne

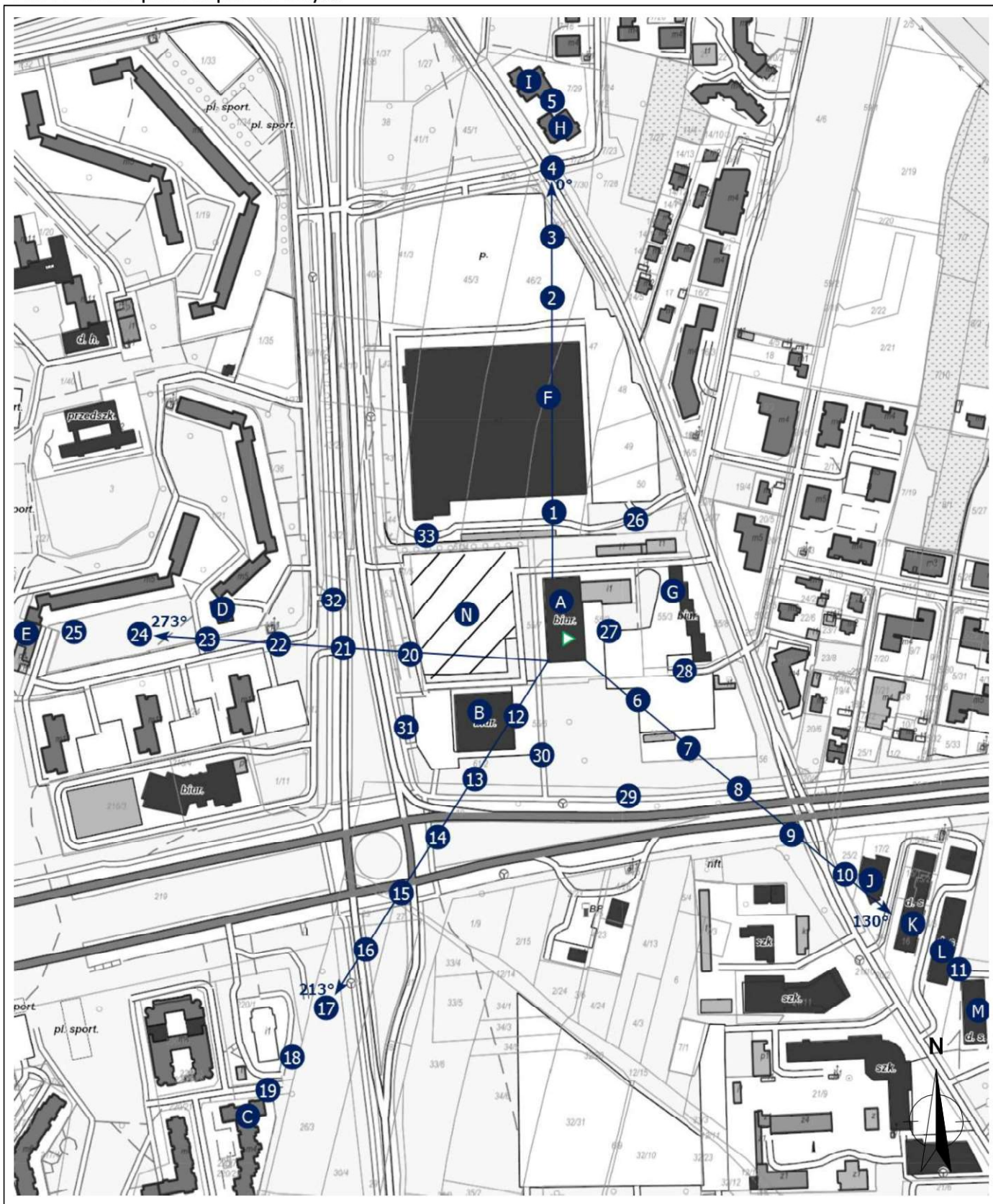
Koniec sprawozdania

Zał. 1. Lokalizacja obiektu



| Współrzędne geograficzne | |
|--------------------------|---------------|
| długość: | 22°33'37.56"E |
| szerokość: | 51°15'52.49"N |

Załącznik 2. Widok pionów pomiarowych



LEGENDA:

inna instalacja radiokomunikacyjna

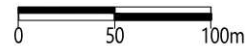
brak dostępu

pion pomiaru

antena sektorowa

antena radioliowa

Skala:1:5200



Załącznik 3. Załączniki graficzne.

